

Optimal Coupled Spacecraft Rendezvous and Docking Using Gauss Pseudospectral Method and Step by Step Linearization

S. H. Pourtakdoust^{1*}, R. Moradi² and R. Kamyar³

1 , 2. Sharif University of Technology, Aerospace Engineering Department
3.Center for Research and Development in Space Science and Technology

*P.O. Box 11365-8639, Tehran

pourtak@sharif.edu

In this work the coupled nonlinear problem of optimal spacecraft rendezvous and docking (RVD) is addressed. In most of the previous studies on the subject of optimal RVD, decoupling is presumed to exist between the trajectory translational and the attitude motions and hence the optimal coupled analysis has not been yet addressed properly. However there are circumstances where these two motions are in fact coupled and interdependent and one such situation is investigated and analyzed in this article. By utilizing thrusters for the translational control and reaction wheels for the attitude control, one can uncouple the translational and rotational control to a high degree of approximation. However it can be shown that due to even very small thrust misalignments, the uncoupled problem changes to a highly coupled one. In this article, the nonlinear rendezvous and docking problem is assumed to be coupled and its optimal fuel-trajectory closed loop solution is obtained using two approaches of local linearization and Gauss Pseudospectral methods. Therefore the designed controllers are able to handle the highly nonlinear coupled rendezvous and docking optimally in the presence of system uncertainties as well as environmental disturbances. The results of the two solution approaches and their pertinent control strategies are compared and the merits and weaknesses of each are fully analyzed. Finally, a sensitivity analysis is also performed that shows the effects of thrust misalignments levels on the final state diversions.

Key word: rendezvous and docking, linearization, optimal coupled analysis

حل بهینه مسئله راندوو و لنگرگیری در گیر فضاییما با رویکرد شبیه‌طیفی گاوی و خطی‌سازی گام به گام

سیدحسین پورتاكدوست^{۱*}، روزبه مرادی^۲ و رضا کامیار^۳

۱- دانشگاه صنعتی شریف، دانشکده مهندسی هوافضا

۳- پژوهشکده توسعه علوم و فناوری فضا

*تهران، خ. آزادی

pourtak@sharif.edu

در این مقاله، حل بهینه مسئله غیرخطی و در گیر راندوو و لنگرگیری دو فضاییما به صورت نامقید و همزمان مورد بررسی قرار گرفته است. در غالب کارهای انجام شده قبلی، دو مسئله راندوو و لنگرگیری به صورت دو فرآیند مجزا انجام شده است و تاکنون مسئله طراحی کنترلرهای بینهای برای حرکات توازن انتقالی و دورانی فضاییما رهگیر صورت نگرفته است. از طرفی شرایط متعددی می‌تواند وجود داشته باشد که این دو حرکت وابسته و در گیر شوند که در این مقاله به یکی از آن شرایط متحمل پرداخته شده است. هر چند با فرض استفاده از رانشگرهای هم راستا با مرکز جرم موئور برای حرکت انتقالی و استفاده از چرخهای واکنشی برای حرکت دورانی می‌توان این دو حرکت را از هم مستقل فرض کرد، نشان داده است که در صورت وجود عدم همترازی بدارهای رانش با مرکز جرم رهگیر حتی به میزان بسیار کوچک، مسئله راندوو و لنگرگیری از فرم مستقل درآمده و به فرم در گیر تبدیل می‌شود که مستلزم حل توازن معادلات خواهد بود. در این تحقیق حل مسئله ترکیبی غیرخطی برای راندوو و تغییر وضعیت فضاییما رهگیر به جهت لنگرگیری با فضاییما مادر، بر مبنای تئوری کنترل بینهای و استفاده از دو روش خطی‌سازی گام به گام و روش شبیه‌طیفی گاوی با کمینه‌سازی سوخت و تولید مسیر بینهای در یک الگوی حلکه بسته استخراج شده است. از این رو کنترلرهای طراحی شده قادر خواهند بود دو موئور راندوو و لنگرگیری را به صورت بینهای و مقاوم در مقابل عدم قطعیت‌ها و وجود اختلالات انجام دهنند. سپس مقایسه‌ای بین این دو روش صورت گرفته و نقاط ضعف و قوت هر کدام مورد بررسی و تحلیل قرار گرفته است. در نهایت تحلیلی روی حساسیت پاسخ نهایی سیستم راندوو و لنگرگیری در گیر غیرخطی با عدم هم راستایی رانشگرهای نسبت به مرکز جرم انجام گرفته است.

واژه‌های کلیدی: راندوو و لنگرگیری، خطی‌سازی، تئوری کنترل بینهای

وسیله مانور لنگرگیری^۴ نیز انجام گیرد. در مانور لنگرگیری هدف صفر کردن سرعت زاویه‌ای و زوایای وضعیت نسبی بین دو وسیله یا قسمت‌های وصل شونده است، حال آنکه در مانور راندوو هدف معمولاً برای صفر کردن سرعت و موقعیت نسبی تعریف می‌گردد. نمونه‌ای از عمل راندوو و لنگرگیری در مانور میان شاتل و ایستگاه فضایی ملاحظه می‌شود. نمونه‌ای دیگر، در عملیات تعمیر تلسکوپ

مقدمه

راندوو^۱ در فضای پروسه‌ای است که در آن فضاییما به نام رهگیر^۲ مانورهایی را برای رسیدن به فضاییما دیگر به نام هدف^۳ انجام می‌دهد. در کنار این فرآیند و همزمان با آن ممکن است بین این دو

-
1. Rendezvous
 2. Chaser
 3. Target

کلاسیک کنترل بهینه و روش لیاپانوف^{۱۷} بررسی شده‌اند [۲۵-۲۲]. کنترل جهتی با محدودیت کنترلی در مرجع [۲۶] بررسی شده است. کنترلهای معکوس و پیش‌خورد نیز در مراجع [۲۸-۲۷] بررسی شده‌اند. فضایم‌هایی که عدم قطعیت، تکنیک‌های کنترل تطبیقی^{۱۸} دارند نیز مورد بررسی قرار گرفته‌اند [۳۲-۲۹]. کنترلهای فازی و پیش‌بینی مدل^{۱۹} نیز برای طراحی کنترلهای جهتی مورد بررسی قرار گرفته‌اند [۳۶-۳۳]. کنترل مقاوم^{۲۰} نیز در این زمینه استفاده شده است [۳۸-۳۷].

با استناد به مطالعات صورت گرفته توسط نویسنده‌گان، تنها مراجع [۳۹] و [۴۰] با مسئله راندو و لنگرگیری به صورت همزمان برخورد کرده‌اند. اما این مقالات همچنان فرض درگیر نبودن این دو حرکت را لحاظ کرده‌اند.

همان‌طورکه اشاره شد؛ سه دیدگاه مختلف برای حل مسئله راندو و لنگرگیری مورد بررسی بوده است. برخی از مقالات فقط با مسئله راندو سرو کار داشته و برخی دیگر مسئله لنگرگیری را بررسی کرده‌اند. تعداد کمی از مقالات نیز این دو مسئله را به صورت همزمان ولی غیر درگیر مورد بررسی قرار داده‌اند. بر فرض اینکه از رانشگرها برای حرکت انتقالی و از چرخ‌های واکنشی برای حرکت دورانی استفاده می‌گردد، و از نیروهای آیرودینامیکی نیز صرف‌نظر شود و فرض گردد که سازه انعطاف‌پذیر نیست و وزن رهگیر تغییر زیادی نمی‌کند می‌توان با تقریب خوبی این دو حرکت را از هم جدا فرض کرد. اما ممکن است شرایطی فراهم آید که این دو حرکت را نتوان از هم مستقل فرض کرد. یکی از این شرایط زمانی به وجود می‌آید که راستای بردارهای رانش دقیقاً از مرکز جرم رهگیر عبور نکند، بنابراین رانشگرها علاوه بر تأثیر بر حرکت انتقالی به صورت غیرمستقیم و با ایجاد اختلالات روی حرکت دورانی نیز تأثیرگذارند. برخلاف فرض لحاظ شده در مقالات قبلی- مبنی بر مستقل‌بودن این دو حرکت، در این مقاله فرض شده است که این دو حرکت به هم وابسته و درگیر هستند.

در کنار استراتئی‌های مختلفی که برای حل کنترلی یا هدایتی این مسئله وجود دارد، بحث می‌نیم کردن مصرف سوخت اهمیت بسیار زیادی دارد. دلیل این مسئله در فضای دلیل کم و محدودبودن منابع سوخت کاملاً مشهود است. اما به دلیل ماهیت غیرخطی مسئله، حل حلقه بسته سوخت بهینه منجر به مسیرهای ناهموار خواهد شد که از لحاظ مهندسی قابل قبول نیست. بنابراین

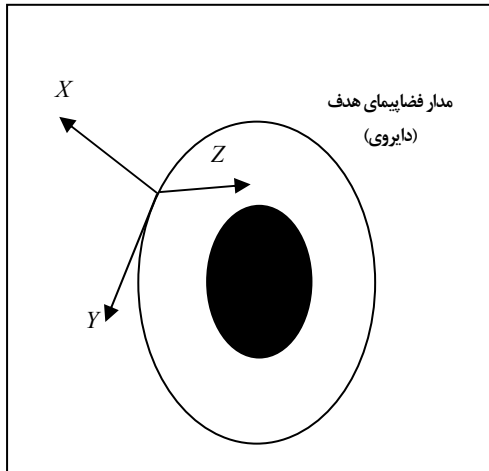
هابل است. هم اکنون این موضوع با بحث سفر به سیارات دیگر مانند مریخ اهمیت بسیار زیادی پیدا کرده است. در عملیات نشستن یا برخاستن از سطح مریخ مدول قمری^۵ شاتل باید با مدول دستور/ سرویس^۶ آن مانور راندو و لنگرگیری را انجام دهد. تاکنون دیدگاه‌های بی‌شماری برای حل مسئله راندو و لنگرگیری مورد نظر بوده است [۱-۴]. تعدادی از این مراجع صرفاً به بحث راندو (حرکت انتقالی) پرداخته [۲۰-۱] و دسته‌ای دیگر نیز صرفاً حل مسئله لنگرگیری (حرکت دورانی) را مورد بررسی قرار داده‌اند [۳۸-۲۱]. در تمامی این کارها فرض اصلی این بوده که هیچ نوع درگیری بین این دو حرکت وجود نداشته است. در بین کارها و تحقیقاتی که بحث راندو را مطرح کرده‌اند، تعدادی از روش‌های حل بهینه کلاسیک استفاده کرده‌اند [۹-۱]. در بین این کارها تعدادی فرض کرده‌اند که این مسئله مقید^۷ است [۴-۱] در حالی که تعدادی از مقالات فرض نامقید بودن را لحاظ کرده‌اند [۵-۷]. برخی فرض کرده‌اند که این مسئله از نوع مسیر- مقید^۸ بوده [۸] و دسته‌ای دیگر نیز از برخی تعاریف جدیدتر مانند توابع تولیدکننده^۹ [۹] استفاده کرده‌اند. الگوریتم‌های کاشف^{۱۰} نیز به وفور در این مسئله مورد استفاده قرار گرفته‌اند. روش‌های تک‌هزینه‌ای^{۱۱} [۱۲-۱۰] و چند هزینه‌ای^{۱۲} [۱۳-۱۶] برای حل مسئله راندو و بررسی شده‌اند. کنترل لغزشی^{۱۳} نیز برای حل این مسئله مورد بررسی قرار گرفته است [۱۷]. برخی مقالات نیز مسئله راندو را به صورت مسئله‌ای اینمی^{۱۴} و جلوگیری از برخورد به موانع^{۱۵} مورد بررسی قرار داده‌اند [۲۰-۱۸].

فرآیند لنگرگیری جزء بحث کنترل جهتی فضایم به شمار می‌رود. در این راستا نیز کارهای بسیار زیادی انجام گرفته است. لنگرگیری به صورت صفرکردن زوایای جهتی نسبی و سرعت‌های زاویه‌ای نسبی بین رهگیر و هدف تعريف می‌گردد. این بخش از حرکت نیز به دلیل مباحث اینمی به هنگام نزدیک کردن رهگیر به هدف بسیار حائز اهمیت است. روابط اویلر^{۱۶} حاکم بر این حرکت بوده و به دلیل زوایایی بزرگ و نرخ‌های زاویه‌ای زیاد باید از روابط غیرخطی استفاده کرد. مقالات بسیار زیادی تاکنون این مسئله را بررسی کرده‌اند [۲۱]. برای مانورهای با زوایای زیاد روش‌های

- 5. Lunar module
- 6. Command/Service module
- 7. Bounded
- 8. Path constraint
- 9. Generating function
- 10. Heuristic algorithms
- 11. Single objective
- 12. Multi objective
- 13. Sliding mode control
- 14. Safety
- 15. Collision avoidance
- 16. Euler

17. Lyapanov
18. Adaptive control
19. Model predictive
20. Robust control

مومنتوم زاویه‌ای مدار^{۳۳} (عمود بر دو بردار قبل و به سمت خارج از صفحه مدار) قرار دارد.



شکل ۱. دستگاه مختصات مرجع متصل به هدف در حرکت انتقالی

با این مفروضات معادلات غیرخطی راندو به فرم معادلات (۲) خواهد بود.

$$\begin{aligned} \ddot{x} - 2n\dot{y} - n^2(r_0 + x)M &= f_x/m \\ \ddot{y} + 2n\dot{x} - n^2yM &= f_y/m \\ \ddot{z} + n^2zM &= f_z/m \end{aligned} \quad (2)$$

در این روابط n نشان‌دهنده سرعت زاویه‌ای مداری هدف بوده و از رابطه (۳) به دست می‌آید:

$$n = \sqrt{\frac{\mu}{r_0^3}} \quad (3)$$

مقدار n برای هدف ثابت بوده و انداز آن به فاصله مدار هدف از مرکز زمین ارتباط دارد. m نیز جرم رهگیر است. در روابط (۲) پارامتر M به صورت زیر تعریف می‌شود:

$$M = \left[1 - \frac{r_0^3}{[(r_0 + x)^2 + y^2 + z^2]^{3/2}} \right] \quad (4)$$

معادلات غیر خطی مسئله لنگرگیری (دوران)

معادلات حرکت دورانی هر فضاییما از معادله اویلر استخراج می‌شوند. معادله اویلر به فرم کلی به شکل زیر است [۴۲].

$$\mathbf{T} = \dot{\mathbf{h}} + \boldsymbol{\omega} \times \mathbf{h} \quad (5)$$

در کنار قید می‌نیم کردن مصرف سوخت باید قید هموارکردن مسیر نیز لحاظ شود.

در این مقاله فرض بر این بوده است که راستای رانشگرها دقیقاً از مرکز جرم عبور نکرده است، بنابراین حل بهینه همزمان و درگیر این دو مسئله بررسی شده است. از بعد کنترلی نیز با توجه به ماهیت تولید حل بهینه حلقه بسته و مقاوم از ایده خطی‌سازی گام به گام سیستم غیرخطی حول نقاط کار برای طراحی کنترلر حلقه بسته استفاده شده است. سپس با توجه به ضعف‌های این روش، حل بهینه مسئله راندو و لنگرگیری با استفاده از روش قدرتمند و حلقه بسته شبیه‌طیفی گاوی (GP)^{۳۴} انجام گرفته است. جواب‌های این شبیه‌سازی نشان می‌دهند که حل به دست آمده از روش شبیه‌طیفی گاوی مزایا و معایبی در مقابل روش خطی‌سازی دارد و طراح می‌تواند بسته به مأموریت موردنظر و شرایط ساخت، یکی از دو روش را مورد بررسی قرار دهد. در نهایت به منظور به دست آوردن بازه قابل اطمینان برای عدم هم‌ترازی، تحلیلی روی حساسیت پاسخ نهایی سیستم نسبت به عدم هم‌ترازی رانشگرها انجام گرفته است.

معادلات غیر خطی مسئله راندو (انتقال)

معادلات نسبی حرکت انتقالی را در فضای اینرسی می‌توان به صورت زیر نوشت [۴۱]:

$$\ddot{\mathbf{d}} = \frac{\mu \mathbf{d}}{|\mathbf{d}|^3} + \mathbf{f}_c + \mathbf{f}_p \quad (1)$$

برای ساده‌تر کردن معادلات حرکت، فرض می‌شود که مدار هدف دایروی است و حرکت آن در محیطی بدون اختلال صورت می‌پذیرد. در این رابطه \mathbf{d} فاصله نسبی بین هدف و رهگیر بوده و \mathbf{f}_c و \mathbf{f}_p به ترتیب نیروهای کنترلی و اختلالی هستند. μ نیز پارامتر جاذبی زمین^{۳۵} است.

دستگاه مختصات مرجع به صورت متحرک و متصل به هدف در نظر گرفته می‌شود. دستگاه مختصات XYZ به صورت زیر تعریف شده و در شکل (۱) نشان داده شده است.

بردار X وضعیت شعاعی هدف را در دستگاه فوق نسبت به زمین نشان می‌دهد.

بردار Y امتداد بردار سرعت هدف را که همواره مماس بر مسیر حرکت آن است، نشان می‌دهد و بردار Z در راستای بردار

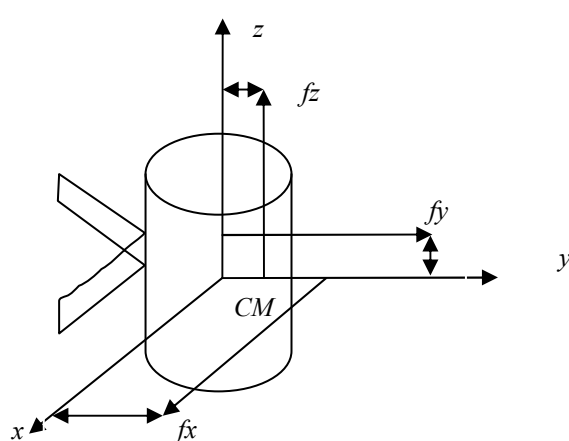
محورهای ۱ و ۲ بدنی هستند. با توجه به روابط (۲) و (۶) می‌توان گفت که ترم درگیر در معادلات راندو و لنگرگیری_۰ است، زیرا با تغییر موقعیت رهگیر در فضا این مقدار نیز تغییر می‌کند. اما با توجه به شبیه‌سازی‌های انجام گرفته در [۴۳] نشان داده شده است که می‌توان با تقریب خوبی این مقدار را ثابت در نظر گرفت. در این بخش استخراج معادلات انتقالی و دورانی درگیر به پایان می‌رسد. همان‌طور که نشان داده شد تنها عبارتی که در این روابط ایجاد درگیری می‌کند سرعت زاویه‌ای مداری رهگیر است که می‌توان با تقریب‌های خوبی این درگیری را از بین برد و مقدار این کمیت را ثابت فرض نمود.

استخراج معادلات درگیر

در این بخش در مورد نحوه درگیرکردن معادلات دورانی و انتقالی بحث خواهد شد. قبل از استخراج معادلات، ساختار سیستمی رهگیر مورد بررسی قرار می‌گیرد.

ساختار سیستمی رهگیر

در این مقاله ساختار بدن رهگیر به صورت شکل (۲) در نظر گرفته شده است.



شکل ۲- ساختار سیستمی رهگیر

فرض می‌شود که ممان‌های اینرسی ناشی از بازوهای رهگیر (робات) در مقابل بدن آن ناچیز بوده و بنابراین می‌توان رهگیر را با استوانه‌ای متجانس^{۲۵} (توزیع یکنواخت جرم) مدل کرد. موقعیت رانشگرهای نیز در شکل (۲) نشان داده شده است. با توجه به شکل فوق:

این رابطه به وضوح بیانگر این مطلب است که برای مشاهده تأثیر هرگونه گشتاور روی وضعیت جهتی می‌توان ترم $\mathbf{h} \times \omega$ را به ترم $\dot{\mathbf{h}}$ بهمنظور بیان وضعیت در دستگاه بدنی اضافه کرد. مومنتوم کل سیستم را می‌توان به صورت مجموع مومنتوم بدنی و مومنتوم چرخ‌های واکنشی تقسیم‌بندی کرد. این معادله در دستگاه بدنی بیان شده و در آن \mathbf{T} مجموع گشتاورهای خارجی اعمال شده به فضای پیماس است که برابر با مجموع گشتاورهای کنترلی و اختلالی است. در صورتی که این رابطه بسط داده شود در دستگاه بدنی به فرم زیر تبدیل خواهد شد:

$$\begin{aligned}\dot{\omega}_x &= \frac{T_{dx} + G_x - \dot{h}_{wx}}{I_x} - \omega_y \omega_z \frac{I_z}{I_x} + \\ &\quad \omega_z \omega_y \frac{I_y}{I_x} - \omega_y \frac{h_{wz}}{I_x} + \omega_z \frac{h_{wy}}{I_x} \\ \dot{\omega}_y &= \frac{T_{dy} + G_y - \dot{h}_{wy}}{I_y} - \omega_z \omega_x \frac{I_x}{I_y} + \\ &\quad \omega_x \omega_z \frac{I_z}{I_y} - \omega_z \frac{h_{wx}}{I_y} + \omega_x \frac{h_{wz}}{I_y} \\ \dot{\omega}_z &= \frac{T_{dz} + G_z - \dot{h}_{wz}}{I_z} - \omega_x \omega_y \frac{I_y}{I_z} + \\ &\quad \omega_y \omega_x \frac{I_x}{I_z} - \omega_x \frac{h_{wy}}{I_z} + \omega_y \frac{h_{wx}}{I_z}\end{aligned}\quad (6)$$

در این رابطه بردار ω سرعت زاویه‌ای رهگیر بوده و در دستگاه بدنی بیان شده است. بردار \dot{h} فرامیں کنترلی را نشان داده و بردار h_w نیز نشانگر مومنتوم زاویه‌ای رهگیر است. در این رابطه بردار G_x گرادیان جاذبه^{۲۶} بوده و به صورت زیر تعریف می‌شود:

$$\begin{aligned}G_x &= \frac{3}{2} \omega_0^2 (I_z - I_y) \sin(2\phi) \cos^2(\theta) \\ G_y &= \frac{3}{2} \omega_0^2 (I_z - I_x) \sin(2\theta) \cos(\phi) \\ G_z &= \frac{3}{2} \omega_0^2 (I_x - I_y) \sin(2\theta) \sin(\phi)\end{aligned}\quad (7)$$

در این رابطه ω_0 سرعت زاویه‌ای مداری رهگیر است. با توجه به حرکت رهگیر در مدارهای لحظه‌ای دایروی می‌توان از رابطه (۳) برای محاسبه آن استفاده کرد. I_x و I_y و I_z ممان‌های اینرسی حول سه محور هستند. زوایای ϕ و θ نیز به ترتیب زوایای اویلر حول

خطی‌سازی این سیستم‌ها حول نقاط کاری و طراحی کنترل بر مبنای سیستم خطی شده جدید است.

همان‌طورکه از تعریف نیز بر می‌آید، نقاط کار را نمی‌توان از قبل تعیین کرد. در این بخش روشی بر مبنای الگوی کنترل بهینه ارائه می‌شود که می‌تواند با دقت بسیار زیادی حل بهینه سیستم‌های غیرخطی را به دست آورد و در فرایند توسعه حل، نقاط کاری سیستم خود به خود حاصل می‌شوند.

خطی‌سازی سیستم غیرخطی حول نقاط کار

در این مقاله از روش ژاکوبی^{۲۸} برای خطی‌سازی استفاده شده است. در این روش به این صورت عمل می‌شود که حول نقاط کار که به نوبه خود در فرایند حل حاصل می‌شوند معادلات سیستم غیرخطی، خطی‌سازی شده و سپس ماتریس‌های سیستم معادل خطی به دست می‌آیند. به عبارت دیگر اگر سیستم غیرخطی توسط رابطه

$$\dot{\mathbf{x}}(\mathbf{t}) = \mathbf{a}(\mathbf{x}(\mathbf{t}), \mathbf{u}(\mathbf{t}), t) \quad (10)$$

بیان گردد، می‌توان با استفاده از روابط خطی‌سازی زیر آن را به سیستم خطی تبدیل کرد.

$$A = \frac{\partial \mathbf{a}}{\partial \mathbf{x}} \Big|_{\text{operating point}} \quad (11)$$

$$B = \frac{\partial \mathbf{a}}{\partial \mathbf{u}} \Big|_{\text{operating point}} \quad (12)$$

ابتدا نقطه کار سیستم همان شرایط اولیه سیستم رهگیر و مقادیر کنترلی صفر (درصورتی که بازه‌های انتگرال گیری به اندازه کافی ریز درنظرگرفته شوند، این فرض خلی در روند کنترل مسئله ایجاد نمی‌کند) درنظرگرفته می‌شود و سپس در فاصله زمانی نسبتاً ریز سیستم غیرخطی حول این شرایط خطی‌شده و قانون کنترل خطی حاصل می‌شود. سپس این قانون روی سیستم غیرخطی پیاده‌سازی می‌شود. بعد از اعمال این قانون کنترلی روی سیستم غیرخطی و حرکت سیستم به سمت جلو، نقاط به دست آمده نقاط کار جدید خواهد بود و سیستم غیرخطی دوباره حول این نقاط خطی‌سازی شده و سپس قانون کنترلی به دست آمده روی سیستم غیرخطی پیاده‌سازی می‌شود. سپس همین فرایند در بازه بعدی پیاده‌سازی می‌شود تا حل بهینه برای سیستم غیرخطی حاصل شود.

روش شبیه طیفی گاوسی

از این روش برای تبدیل مسائل کنترل بهینه پیوسته همراه با قیود دیفرانسیلی، به مسائل کنترل بهینه گسسته با قیود جبری استفاده می‌شود. در ادامه اشاره مختصری به چگونگی پیاده‌سازی این روش

$$\begin{aligned} T_{dx} &= f_z dz - f_y dy \\ T_{dy} &= 0 \end{aligned} \quad (8)$$

T_{dz} = -f_x dx
با مراجعه به مجموعه معادلات (۲) و (۶) و (۸) می‌توان اثر رانشگرها در حرکت دورانی را به صورت گشتاور و اختلال داخلی روی معادلات انتقالی درنظر گرفت.

با استخراج معادلات غیرخطی درگیر بحث این بخش به اتمام می‌رسد. این معادلات در استخراج قوانین کنترلی بخش بعد به کار گرفته خواهد شد.

کنترل بهینه

در این بخش مسئله خطی‌سازی معادلات غیرخطی درگیر راندو و لنگرگیری با استفاده از ایده خطی‌سازی معادلات حول نقاط کار مورد بررسی قرار می‌گیرد.

تابع هزینه

تابع هزینه در این مقاله به منظور مینیمم‌سازی سوت در کنار هموارترسازی مسیر درنظر گرفته خواهد شد. دلایل این انتخاب نیز دو مورد زیر هستند:

۱- در کاربردهای فضایی مبحث مینیمم‌کردن سوت به دلیل محدودیت در سوت گیری و حجم مخازن سوت اولویت زیادی دارد.

۲- کاهش مصرف سوت باعث ناهموار شدن مسیر حرکت می‌شود که این مسئله باعث صدمات سازه‌ای و افزایش اعتشاشات در سیستم می‌شود. بنابراین در کنار کاهش سوت باید روی هموارسازی مسیر حرکت رهگیر نیز قید قرار داده شود، بنابراین فرم تابع هزینه انتخاب شده به صورت

$$J = \frac{1}{2} \int_{t_0}^{t_f} [\mathbf{x}(\mathbf{t})^T \mathbf{Q} \mathbf{x}(\mathbf{t}) + \mathbf{u}(\mathbf{t})^T \mathbf{R} \mathbf{u}(\mathbf{t})] dt \quad (9)$$

است. در این رابطه ماتریس‌های Q و R ماتریس‌های وزنی هستند که به ترتیب اهمیت همواری^{۲۹} مسیر و میزان انرژی را تعیین می‌کنند. در این مقاله این دو ماتریس قطری درنظر گرفته شده‌اند.

نقاط کار^{۲۷}

نقاط کار به مجموعه نقاطی گفته می‌شود که سیستم مقید است از آنها عبور کند. یکی از روش‌های کنترل سیستم‌های غیرخطی،

26. Smoothness

27. Operating points

$$\mathbf{u}(\tau) \approx \mathbf{U}(\tau) = \sum_{i=1}^N \mathbf{U}(\tau_i) \mathbf{L}_i^*(\tau) \quad (19)$$

که در آنها:

$$\mathbf{L}_i(\tau) = \prod_{j=0, j \neq i}^N \frac{\tau - \tau_j}{\tau_i - \tau_j} \quad (20)$$

$$\mathbf{L}_i^*(\tau) = \prod_{j=1, j \neq i}^N \frac{\tau - \tau_j}{\tau_i - \tau_j} \quad (21)$$

$$\mathbf{L}_i(\tau_j) = \begin{cases} 1, & i=j \\ 0, & i \neq j \end{cases} \quad (22)$$

$$\mathbf{L}_i^*(\tau_j) = \begin{cases} 1, & i=j \\ 0, & i \neq j \end{cases} \quad (23)$$

با مشتق‌گیری از رابطه تقریبی حالت‌ها:

$$\dot{\mathbf{x}}(\tau) \approx \dot{\mathbf{X}}(\tau) = \sum_{i=0}^N \mathbf{x}(\tau_i) \dot{\mathbf{L}}_i(\tau) \quad (24)$$

که مشتق چندجمله‌ای‌های لاغرانژ با ماتریس تقریبی زیر حاصل می‌شود:

$$\mathbf{D}_{ki} = \dot{\mathbf{L}}_i(\tau_k) = \sum_{l=0}^N \frac{\prod_{j=0, j \neq i, l}^N (\tau_k - \tau_j)}{\prod_{j=0, j \neq i, l}^N (\tau_i - \tau_j)} \quad (25)$$

$k = 1, \dots, N$ and $i = 0, \dots, N$

اکنون می‌توان مسئله بولزا را با به کارگیری تقریب‌های مطرح شده و رابطه تقریبی کوادراتر گاوس^{۳۴} موجود در [۴۶]، بازنویسی کرد:

$$J = \phi(\mathbf{X}_0, t_0, \mathbf{X}_f, t_f) + \frac{t_f - t_0}{2} \sum_{i=1}^N \omega_k g(\mathbf{X}_k, \mathbf{U}_k, \tau_k; t_0, t_f) \quad (26)$$

$$\phi(\mathbf{X}_0, t_0, \mathbf{X}_f, t_f) = 0$$

$$C(\mathbf{X}_k, \mathbf{U}_k, \tau_k; t_0, t_f) \leq 0 \quad (k = 1, \dots, N)$$

$$\mathbf{X}_f \equiv \mathbf{X}_0 + \frac{t_f - t_0}{2} \sum_{k=1}^N \omega_k f(\mathbf{X}_k, \mathbf{U}_k; \tau_k; t_0, t_f) \quad (27)$$

به طوری که:

$$\mathbf{X}_k \equiv \mathbf{X}(\tau_k) \in \mathbf{R}^n \quad (28)$$

$$\mathbf{U}_k \equiv \mathbf{U}(\tau_k) \in \mathbf{R}^m \quad (29)$$

$$\mathbf{X}_0 \equiv \mathbf{X}(-1) \quad (30)$$

مسئله جدید را می‌توان با هر روش برنامه‌ریزی غیرخطی حل کرد.

خواهد شد. برای دسترسی به توضیحات کامل‌تر به مراجع [۴۴] و [۴۵] مراجعه شود.

مسئله پیوسته بولزا^{۲۹}

مسئله کنترل بهینه پیوسته زیر که معروف به مسئله پیوسته بولزا است را در نظر بگیرید که در آن هدف یافتن کنترل $\mathbf{u}(\tau)$ ، حالت $\mathbf{x}(\tau)$ ، و زمان‌های ابتدا و انتهای t_0 و t_f است کهتابع هدف زیر را ضمن اراضی قیود مربوطه، مینیم کند.

$$J = \phi(\mathbf{x}(-1), t_0, \mathbf{x}(1), t_f) + \frac{t_f - t_0}{2} \int_{-1}^1 g(\mathbf{x}(\tau), \mathbf{u}(\tau), \tau; t_0, t_f) d\tau \quad (13)$$

$$\frac{dx}{d\tau} = \frac{t_f - t_0}{2} f(\mathbf{x}(\tau), \mathbf{u}(\tau), \tau, t_0, t_f) \quad (14)$$

$$\phi(\mathbf{x}(-1), t_0, \mathbf{x}(1), t_f) = 0 \quad (15)$$

$$C(\mathbf{x}(\tau), \mathbf{u}(\tau), \tau; t_0, t_f) \leq 0 \quad (16)$$

که در آن می‌توان باز انتگرال را با تبدیل زیر، به t_f و t_0 تغییر داد:

$$t = \frac{t_f - t_0}{2} \tau + \frac{t_f + t_0}{2} \quad (17)$$

برای گسسته‌سازی این مسئله با استفاده از روش شبیه‌طیفی گاوسی، دو رویکرد مستقیم^{۳۰} و غیرمستقیم وجود دارد. در روش اول، جملات تقریب زده شده مستقیماً وارد صورت مسئله شده و آن را به فرم مسئله برنامه‌ریزی غیرخطی^{۳۱} در می‌آورد. در روش دوم، تابع همیلتونین افروده^{۳۲} شده را محاسبه کرده و شروط لازم حاصل شده از آن تقریب زده می‌شوند. نقاط مسئله گسسته شده، نقاط لزاندر گاوس^{۳۳} نام دارند.

روش گسسته‌سازی مستقیم

روش شبیه‌طیفی گاوس همانند روش‌های لزاندر و چیبیشف، بر اساس تقریب حالت‌ها و کنترل‌ها توسط چندجمله‌ای‌های درون‌یاب است. حالت‌ها با استفاده از $N+1$ چندجمله‌ای درون‌یاب لاغرانژ تقریب زده می‌شوند:

$$\mathbf{x}(\tau) \approx \mathbf{X}(\tau) = \sum_{i=0}^N \mathbf{X}(\tau_i) \mathbf{L}_i(\tau) \quad (18)$$

29. Bolza

30. Direct

31. Nonlinear programming

32. Augmented Hamiltonian function

33. Legendre-Gaussian (LG)

برای تقریب شبیه حالتها می‌توان نوشت:

$$\lambda(\tau) \approx \Lambda(\tau) = \sum_{i=1}^{N+1} \lambda(\tau_i) L_i^{\top}(\tau) \quad (42)$$

$$L_i^{\top}(\tau) = \prod_{j=0, j \neq i, l}^{N+1} \frac{\tau - \tau_j}{\tau_i - \tau_j}$$

در نتیجه معادلات جبری نهایی برای تقریب شرایط بهینگی لازم (پیوسته) در نقاط لزاندر-گاوس عبارتند از:

$$\sum_{i=0}^N \mathbf{X}_i \mathbf{D}_{ki} = \frac{t_f - t_0}{2} \mathbf{f}_k \quad (43)$$

$$\sum_{i=1}^N \Lambda_i D_{ki}^{\top} + \Lambda_f D_{kN+1}^{\top} = \frac{t_f - t_0}{2} \left(-\frac{\partial g_k}{\partial \mathbf{X}_k} - \Lambda_k^T \frac{\partial f_k}{\partial \mathbf{X}_k} + \mu_k^T \frac{\partial C_k}{\partial \mathbf{X}_k} \right) \quad (44)$$

$$0 = \frac{\partial g_k}{\partial \mathbf{U}_k} - \Lambda_k^T \frac{\partial f_k}{\partial \mathbf{U}_k} + \mu_k^T \frac{\partial C_k}{\partial \mathbf{U}_k} \quad (45)$$

$$\phi(\mathbf{X}_0, t_0, \mathbf{X}_f, t_f) = 0;$$

$$\Lambda_0 = -\frac{\partial \Phi}{\partial \mathbf{X}_0} + \mathbf{v}^T \frac{\partial \phi}{\partial X_0}$$

$$\Lambda_f = \frac{\partial \Phi}{\partial \mathbf{X}_f} - \mathbf{v}^T \frac{\partial \phi}{\partial X_f}$$

$$-\frac{t_f - t_0}{2} \sum_{k=1}^N \boldsymbol{\omega}_k \frac{\partial \mathbf{H}_k}{\partial t_0} + \frac{1}{2} \sum_{k=1}^N \boldsymbol{\omega}_k \mathbf{H}_k = \frac{\partial \Phi}{\partial t_0} - \mathbf{v}^T \frac{\partial \phi}{\partial t_0} \quad (46)$$

$$\frac{t_f - t_0}{2} \sum_{k=1}^N \boldsymbol{\omega}_k \frac{\partial \mathbf{H}_k}{\partial t_f} + \frac{1}{2} \sum_{k=1}^N \boldsymbol{\omega}_k \mathbf{H}_k = -\frac{\partial \Phi}{\partial t_f} + \mathbf{v}^T \frac{\partial \phi}{\partial t_f} \quad (47)$$

$$\mu_{jk} \leq 0 \quad \text{when } C_{jk} = 0 \quad (48)$$

$$\mu_{jk} = 0 \quad \text{when } C_{jk} < 0 \quad (49)$$

$$\mathbf{X}_f = \mathbf{X}_0 + \frac{t_f - t_0}{2} \sum_{k=1}^N \boldsymbol{\omega}_k f_k \quad (50)$$

$$\Lambda_F = \Lambda_0 + \frac{t_f - t_0}{2} \sum_{k=1}^N \boldsymbol{\omega}_k \left(-\frac{\partial g_k}{\partial \mathbf{X}_k} - \Lambda_k^T \frac{\partial f_k}{\partial \mathbf{X}_k} + \mu_k^T \frac{\partial C_k}{\partial \mathbf{X}_k} \right) \quad (51)$$

$$K = 1, \dots, N \quad \text{and} \quad j = 1, \dots, c$$

روش گیسته‌سازی غیرمستقیم

روش غیرمستقیم حل مسئله بولزا، شامل استفاده از حساب تغییرات و اصل پونتریگن^{۳۵} برای دستیابی به شروط لازم برای بهینگی است [۴۷]. بدین ترتیب ابتداتابع همیلتونین افزوده شده محاسبه می‌شود:

$$\mathbf{H}(\mathbf{x}, \lambda, \mu, \mathbf{u}, \tau, t_0, t_f) = g(\mathbf{x}, \mathbf{u}, \tau; t_0, t_f) + \lambda^T(\tau) f(\mathbf{x}, \mathbf{u}, \tau; t_0, t_f) \quad (31)$$

- $\mu^T(\tau) C(\mathbf{x}, \mathbf{u}, \tau; t_0, t_f)$
که در آن λ بردار شبیه حالتها^{۳۶} و μ ضرایب لاگرانژ مربوط به قیود نامساوی هستند. در نتیجه شروط بهینگی عبارتند از:

$$\frac{d\mathbf{x}}{d\tau} = \frac{t_f - t_0}{2} f(\mathbf{x}, \mathbf{u}, \tau; t_0, t_f) = \frac{t_f - t_0}{2} \frac{\partial \mathbf{H}}{\partial \lambda} \quad (32)$$

$$\frac{d\lambda}{d\tau} = \frac{t_f - t_0}{2} \left(-\frac{\partial g}{\partial \mathbf{x}} - \lambda^T \frac{\partial f}{\partial \mathbf{x}} + \mu^T \frac{\partial C}{\partial \mathbf{x}} \right) = -\frac{t_f - t_0}{2} \frac{\partial \mathbf{H}}{\partial \mathbf{x}} \quad (33)$$

$$0 = \frac{\partial g}{\partial \mathbf{u}} + \lambda^T \frac{\partial f}{\partial \mathbf{u}} - \mu^T \frac{\partial C}{\partial \mathbf{u}} = \frac{\partial \mathbf{H}}{\partial \mathbf{u}} \quad (34)$$

$$\phi(\mathbf{x}(\tau_0), t_0, \mathbf{x}(\tau_f), t_f) = 0 \quad (35)$$

$$\lambda(\tau_0) = -\frac{\partial \Phi}{\partial \mathbf{x}(\tau_0)} + \mathbf{v}^T \frac{\partial \phi}{\partial \mathbf{x}(\tau_0)} \quad (36)$$

$$\lambda(\tau_f) = \frac{\partial \Phi}{\partial \mathbf{x}(\tau_f)} - \mathbf{v}^T \frac{\partial \phi}{\partial \mathbf{x}(\tau_f)} \quad (37)$$

$$\mathbf{H}(t_f) = -\frac{\partial \Phi}{\partial t_f} + \mathbf{v}^T \frac{\partial \phi}{\partial t_f} \quad (38)$$

$$\mathbf{H}(t_0) = \frac{\partial \Phi}{\partial t_0} - \mathbf{v}^T \frac{\partial \phi}{\partial t_0} \quad (39)$$

$$\mu_j(\tau) = 0 \quad \text{when } c_j(\mathbf{x}, \mathbf{u}, \tau; t_0, t_f) < 0$$

$$j = 1, \dots, c \quad (40)$$

$$\mu_j(\tau) \leq 0 \quad \text{when } c_j(\mathbf{x}, \mathbf{u}, \tau; t_0, t_f) = 0$$

$$j = 1, \dots, c$$

همچنین می‌توان نشان داد:

$$\mathbf{H}(t_0) = -\frac{t_f - t_0}{2} \int_{-1}^1 \frac{\partial \mathbf{H}}{\partial t_0} d\tau + \frac{1}{2} \int_{-1}^1 \mathbf{H} d\tau \quad (41)$$

$$\mathbf{H}(t_f) = \frac{t_f - t_0}{2} \int_{-1}^1 \frac{\partial \mathbf{H}}{\partial t_f} d\tau + \frac{1}{2} \int_{-1}^1 \mathbf{H} d\tau$$

در جدول (۵) ماتریس‌های وزنی برای حل مسئله درگیر راندو و لنگرگیری با استفاده از روش شبه‌طیفی گاوس آمده است. در جدول (۶) مقادیر اولیه شبیه‌سازی روش شبه‌طیفی گاوس برای حل مسئله درگیر راندو و لنگرگیری آمده است.

جدول ۴ - ماتریس‌های وزنی برای حل مسئله درگیر راندو و لنگرگیری با استفاده از روش خطی‌سازی گام به گام

عناصر قطری ماتریس Q	مقادیر ثابت	عناصر قطری ماتریس R	مقادیر ثابت
Q(۱,۱)	۱e-۱	R(۱,۱)	۹۰
Q(۲,۲)	۱e-۱	R(۲,۲)	۹۰
Q(۳,۳)	۱e-۱	R(۳,۳)	۹۰
Q(۴,۴)	۱e-۱۰	R(۴,۴)	۱۰۰
Q(۵,۵)	۱e-۱۰	R(۵,۵)	۱۰۰
Q(۶,۶)	۱e-۱۰	R(۶,۶)	۱۰۰
Q(۷,۷)	۲		
Q(۸,۸)	۲		
Q(۹,۹)	۲		
Q(۱۰,۱۰)	۱e-۲		
Q(۱۱,۱۱)	۱e-۲		
Q(۱۲,۱۲)	۱e-۲		
Q(۱۳,۱۳)	۲e-۳		
Q(۱۴,۱۴)	۲e-۳		
Q(۱۵,۱۵)	۲e-۳		

جدول ۵ - پارامترهای تابع هزینه برای حل مسئله درگیر راندو و لنگرگیری با استفاده از روش شبه‌طیفی گاوس

عناصر قطری ماتریس Q	مقادیر ثابت	عناصر قطری ماتریس R	مقادیر ثابت
Q(۱,۱)	۱e-۱	R(۱,۱)	۲e-۵
Q(۲,۲)	۱e-۱	R(۲,۲)	۲e-۵
Q(۳,۳)	۱e-۱	R(۳,۳)	۲e-۵
Q(۴,۴)	۱e-۱۰	R(۴,۴)	۱e-۶
Q(۵,۵)	۱e-۱۰	R(۵,۵)	۱e-۶
Q(۶,۶)	۱e-۱۰	R(۶,۶)	۱e-۶
Q(۷,۷)	۱e-۳		
Q(۸,۸)	۱e-۳		
Q(۹,۹)	۱e-۳		
Q(۱۰,۱۰)	.۱۵		
Q(۱۱,۱۱)	.۱۵		
Q(۱۲,۱۲)	.۱۵		
Q(۱۳,۱۳)	۱		
Q(۱۴,۱۴)	۱		
Q(۱۵,۱۵)	۱		

لازم به ذکر است که در معادلات بالا، مجھولات زیر:

$$\mathbf{X}_0 \equiv \mathbf{X}(-1), \quad \mathbf{X}_k \equiv \mathbf{X}(\tau_k) \in \mathbf{R}^n$$

$$\mathbf{X}_f \equiv \mathbf{X}(1), \quad \mathbf{U}_k \equiv \mathbf{U}(\tau_k) \in \mathbf{R}^m$$

$$\Lambda_0 \equiv \Lambda(-1), \quad \Lambda_k \equiv \Lambda(\tau_k) \in \mathbf{R}^n$$

$$\Lambda_f \equiv \Lambda(1), \quad \boldsymbol{\mu}_k \equiv \boldsymbol{\mu}(\tau_k) \in \mathbf{R}^m$$

$$t_0 \in \mathbf{R}, \quad t_f \in \mathbf{R}, \quad v \in \mathbf{R}^q$$

باید به دست آیند.

مجموعاً به تعداد $2(2n + m + c)N + 4n + q + 2$ مجھول وجود دارد که به همین تعداد معادله برای آنها نوشته شده است. حل این مجموعه معادلات جبری غیرخطی، پاسخی غیرمستقیم برای مسئله کنترل بهینه خواهد بود.

نتایج پیاده‌سازی

در این بخش نتایج شبیه‌سازی و جزییات بیشتر در مورد نحوه انتخاب پارامترهای سیستم و کنترل ارائه خواهد شد.

پارامترهای شبیه‌سازی

پارامترهای هندسی و جرمی سیستم رهگیر در جدول (۱) نشان داده شده‌اند.

جدول ۱ - پارامترهای سیستمی رهگیر

ارتفاع رهگیر	شعاع استوانه رهگیر	جرم رهگیر
۴ متر	۲ متر	۵۰ کیلوگرم

پارامترهای مداری فضایی‌مای هدف نیز در جدول (۲) نشان داده شده‌اند.

جدول ۲ - پارامترهای مداری

پارامتر جاذبی	شعاع زمین	فاصله مدار هدف از زمین
km ³ / s ² ۳۹۸۶۰۰	۶۳۷۸ کیلومتر	۳۰۰

میزان عدم تطابق رانشگرهای رهگیر در سه راستا در جدول (۳) نشان داده شده است.

جدول ۳ - میزان عدم تطابق

راستای x	راستای y	راستای z
۱/۰ میلی‌متر	۱/۰ میلی‌متر	۱/۰ میلی‌متر

در جدول (۴) ماتریس‌های وزنی برای حل مسئله درگیر راندو و لنگرگیری با استفاده از روش خطی‌سازی گام به گام آمده است.

- تحلیل حساسیت پاسخ نهایی (خطای نهایی) سیستم راندو و لنگرگیری در گیر غیرخطی به ازای ورودی های مختلف، عدم هم ترازی راستای رانش گرها نسبت به مرکز جرم رهگیر در آخرین قسمت بخش بعدی آمده است. مقادیر عدم تطابق به گونه ای انتخاب شده است که سیستم رفتار معقول و کاربردی از خود نشان دهد.

نتایج شبیه سازی

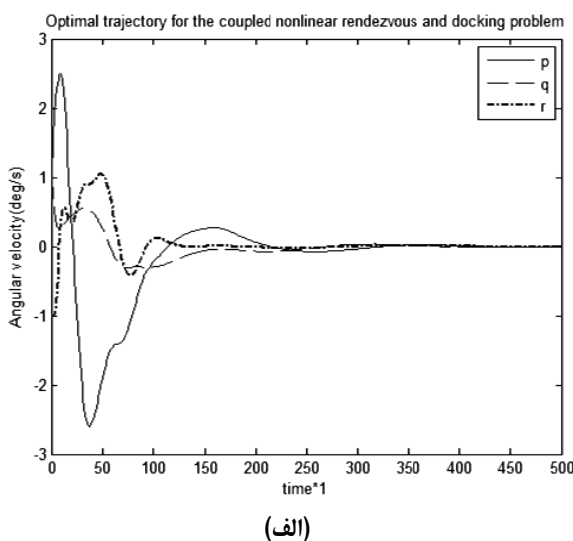
با توجه به توضیحات داده شده در بخش قبل، نتایج شبیه سازی در بخش های زیر اشاره شده است.

جدول (۷) مقادیر توابع هزینه را با استفاده از دو روش شبیه طیفی گاوس و روش خطی سازی گام به گام (به منظور اعتبارسنجی) در مسئله راندو و لنگرگیری در گیر نشان می دهد.

جدول ۷- مقادیر توابع هزینه را با استفاده از دو روش شبیه طیفی گاوس و روش خطی سازی گام به گام در مسئله ملاقات و لنگرگیری در گیر

روش شبیه طیفی گاوس	روش خطی سازی
هزینه کل	هزینه کل
۶۱۷.۴۳	۸۲۲.۶۵

در شکل های (۳) تا (۸) پاسخ بهینه سیستم غیرخطی و در گیر راندو و لنگرگیری بازی اشایط اولیه ارائه شده در بخش با استفاده از هر دو روش نشان داده شده است. در این دو روش، با توجه به ماهیت حل کنترلی که حل حلقه بسته را ارائه می دهد، پاسخ سیستم دارای مقاومت ^{۳۸} زیادی در مقابل اختلالات است. این موضوع برتری این دو روش را در مقابل حل های حلقة باز مانند تغییرات اکسترمیمال ها ^{۳۹} نشان می دهد.

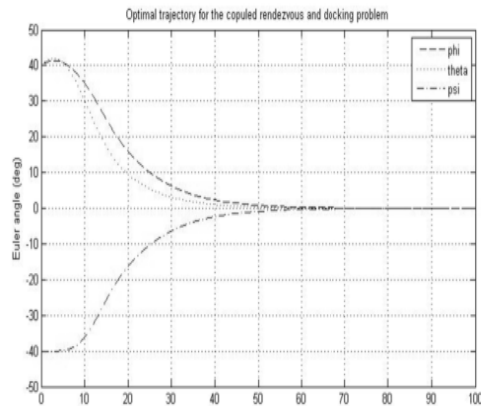


جدول ۶- مقادیر اولیه شبیه سازی روش شبیه طیفی گاوس برای حل مسئله در گیر راندو و لنگرگیری

$p(0)$	\deg/s	$p(t_f)$	free
$q(0)$	\deg/s	$q(t_f)$	free
$r(0)$	\deg/s	$r(t_f)$	free
$h_x(0)$	0	$h_x(t_f)$	free
$h_y(0)$	0	$h_y(t_f)$	free
$h_z(0)$	0	$h_z(t_f)$	free
$\phi(0)$	40 deg	$\phi(t_f)$	free
$\theta(0)$	40 deg	$\theta(t_f)$	free
$\psi(0)$	-40 deg	$\psi(t_f)$	free
$x(0)$	9/64 km	$x(t_f)$	free
$y(0)$	-5/09	$y(t_f)$	free
$z(0)$	32/89 km	$z(t_f)$	free
$\dot{x}(0)$	+0.5344 km/s	$\dot{x}(t_f)$	free
$\dot{y}(0)$	+0.285 km/s	$\dot{y}(t_f)$	free
$\dot{z}(0)$	+0.1398 km/s	$\dot{z}(t_f)$	free

نکات

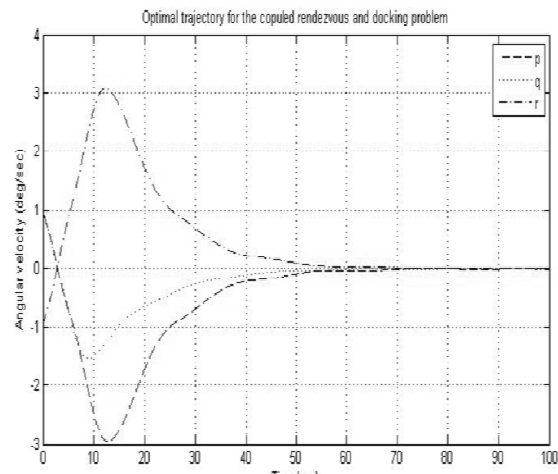
- در تمام شبیه سازی های انجام شده بازه های زمانی انتگرال گیری یک ثانیه در نظر گرفته شده است.
- تعداد نقاط خطی سازی در روش شبیه طیفی گاوس پنجاه نقطه در نظر گرفته شده است. انتخاب این نقاط به وسیله سعی و خطا و به منظور افزایش دقت حل انجام گرفته است.
- تغییرات سرعت زاویه ای مداری رهگیر ثابت و برابر مقدار اولیه آن در نظر گرفته شده است.
- زمان انجام عملیات راندو و لنگرگیری به وسیله هر دو روش ۵۰۰ ثانیه بوده است (نمودارهای روش شبیه طیفی گاوس به دلیل واضح تر شدن تا ۱۰۰ ثانیه نشان داده شده اند).
- مقادیر اولیه و نهایی حالت ها هر دو روش یکسان در نظر گرفته شده است.
- مقادیر اختلالی ^{۳۷} در هر سه راستای محورهای بدنی 10^{-5} N.m و ثابت در نظر گرفته شده اند.



(الف)

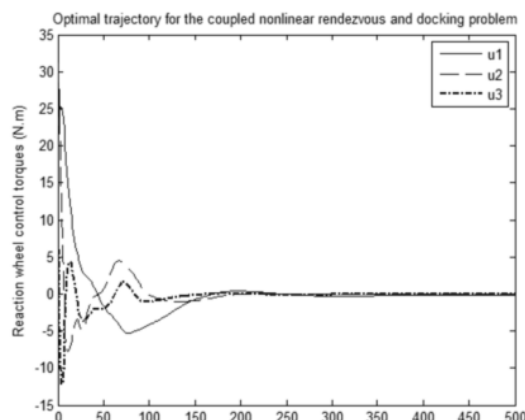
شکل ۴- مسیر بهینه فرامین کنترلی چرخ های واکنشی در مسئله ملاقات و اتصال غیرخطی حلقه بسته (الف) با روش خطی سازی و (ب) شبیه طیفی گاوس با اعمال اختلالات

علاوه بر موارد ذکر شده در مورد شکل (۳)، در این حالت فراجهش روش شبیه طیفی گاوس کمتر است.

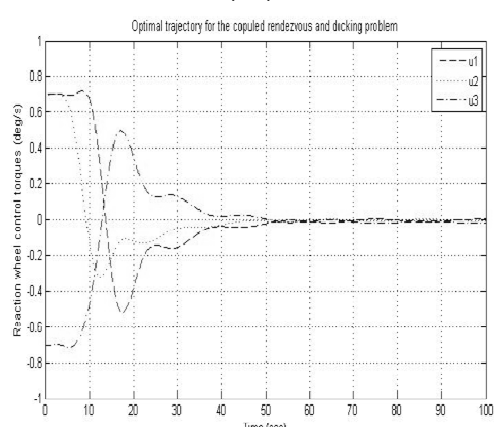


(ب)

شکل ۴- مسیر بهینه خطای سرعت زاویه ای در مسئله ملاقات و اتصال غیرخطی حلقه بسته: (الف) با روش خطی سازی و (ب) شبیه طیفی گاوس با اعمال اختلالات



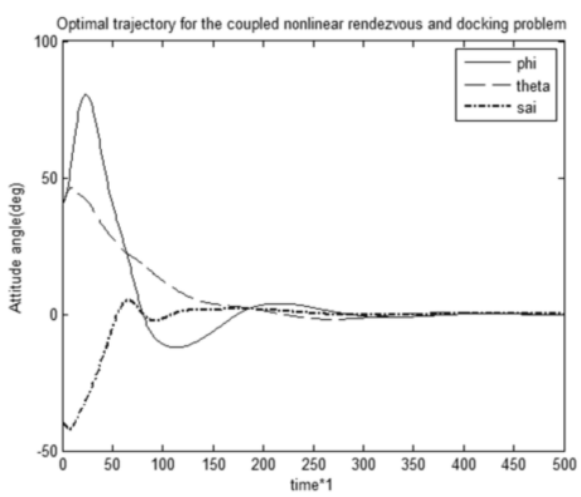
(الف)



(ب)

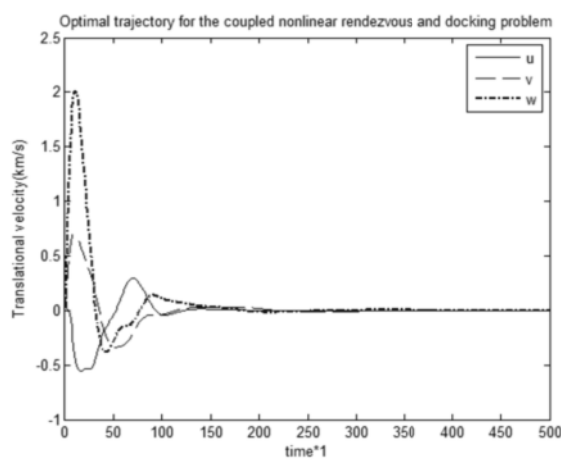
شکل ۵- مسیر بهینه فرامین کنترلی چرخ های واکنشی در مسئله ملاقات و اتصال غیر خطی حلقه بسته (الف) با روش خطی سازی و (ب) شبیه طیفی گاوس با اعمال اختلالات

با توجه به شکل فوق می توان گفت که با استفاده از روش خطی سازی حول نقاط کار سیستم راحتتر به مسیر مطلوب همگرا شده و بنابراین زمان نشست^۴ بیشتری خواهد داشت. همین مسئله باعث می شود تا مقادیر کنترلی کمتری در این حالت نیاز باشد. در عین حال نمودارهای به دست آمده از روش شبیه طیفی گاوس هموارتر^۱ هستند. این امر مزیت بسیار مهمی از نظر سازه ای به شمار می رود.

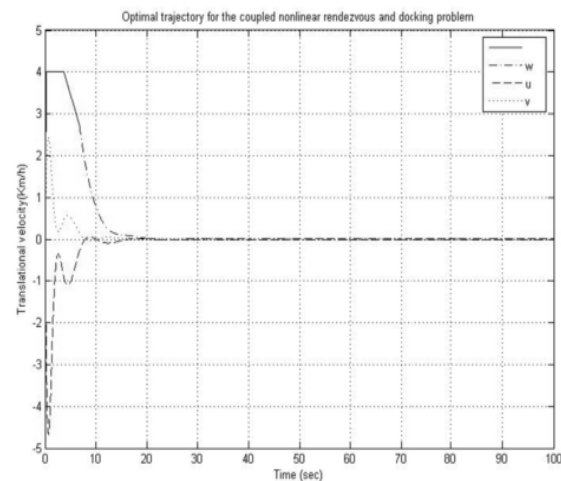


(الف)

40. Settling time
41. Smooth

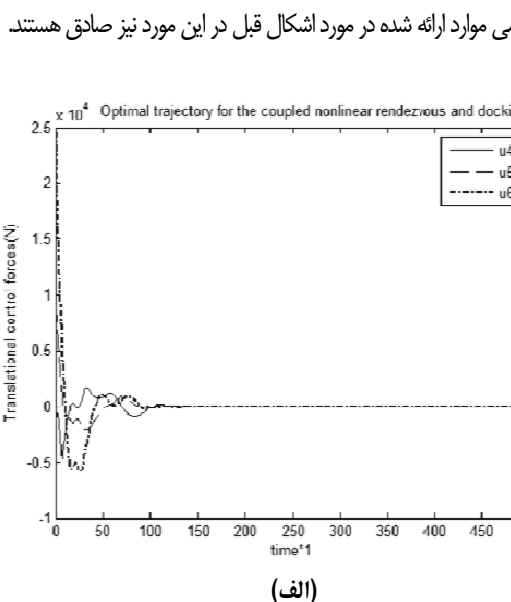


(الف)



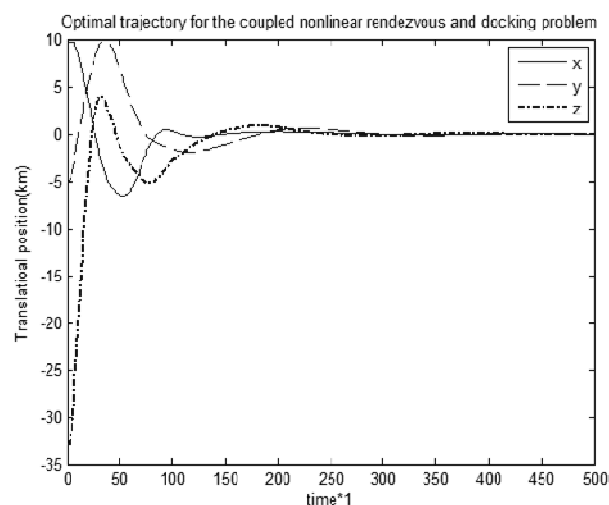
(ب)

شکل ۷- مسیر بهینه خطای سرعت نسبی در مسئله ملاقات و اتصال غیرخطی حلقه بسته (الف) با روش خطی سازی و (ب) شبیه طیفی گاوس با اعمال اختلالات

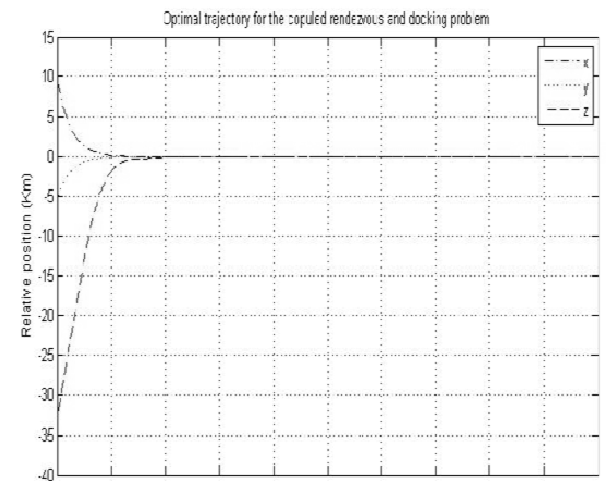


(الف)

با توجه به شکل فوق ملاحظه می‌گردد که فرامین کنترلی چرخهای واکنشی با استفاده از روش شبیه طیفی گاوس کمتر خواهد بود. این یک مزیت مهم در استفاده از این روش است، زیرا معمولاً اعمال کردن محدودیتهای کنترلی در فضا بسیار مهم است.



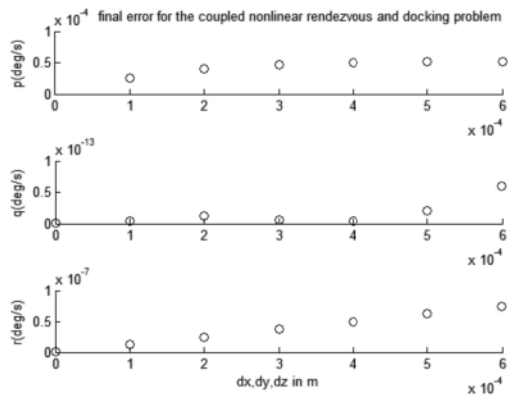
(الف)



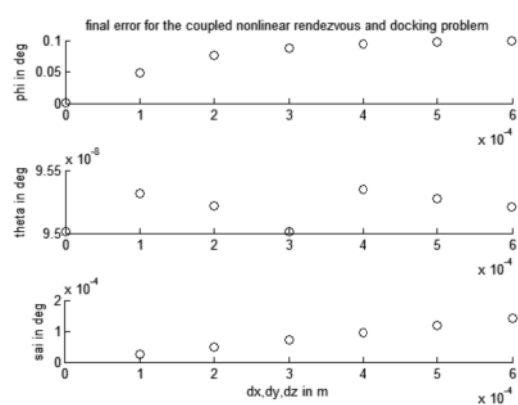
(ب)

شکل ۶- مسیر بهینه خطای موقعیت نسبی در مسئله ملاقات و اتصال غیرخطی حلقه بسته (الف) با روش خطی سازی و (ب) شبیه طیفی گاوس با اعمال اختلالات

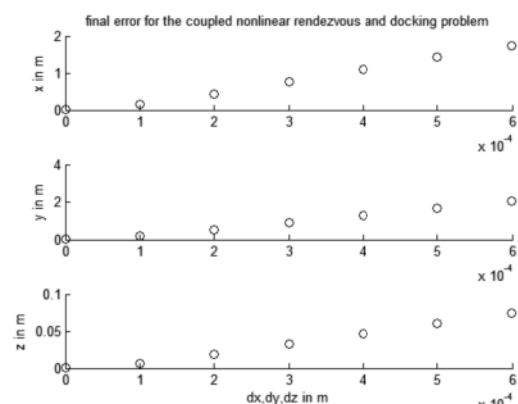
شکل فوق نشان‌دهنده صحت مطلب ارائه شده در بخش قبل مبنی بر زیادی‌بودن زمان نشست و ناهموارتر بودن مسیر به هنگام استفاده از روش خطی سازی است.



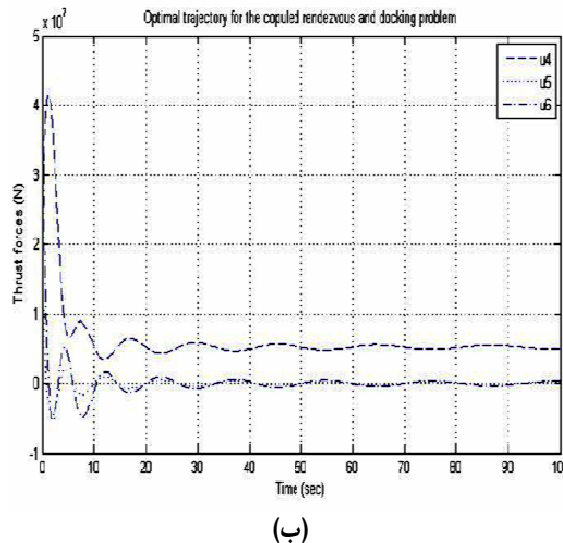
شکل ۹- تحلیل حساسیت خطای نهایی سرعت زاویه ای در مسئله درگیر نسبت به عدم تطابق



شکل ۱۰- تحلیل حساسیت خطای نهایی زوایایی جهتی در مسئله درگیر نسبت به عدم تطابق



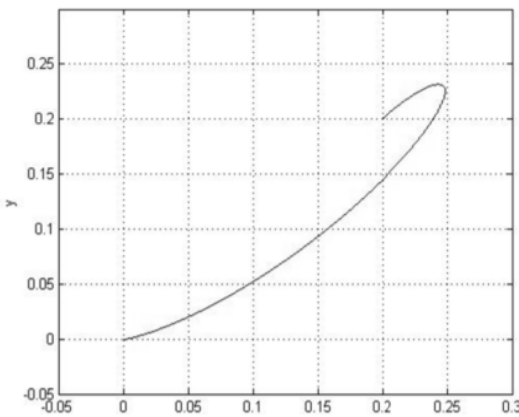
شکل ۱۱- تحلیل حساسیت خطای نهایی موقعیت نسبی در مسئله درگیر نسبت به عدم تطابق



شکل ۸- مسیر بهینه فرامین کنترلی رانشگرها در مسئله ملاقات و اتصال غیرخطی حلقه بسته (الف) با روش خطی‌سازی و (ب) شبیه‌طیفی گاوس با اعمال اختلالات

شکل (۸) نشانگر این واقعیت مهم است که استفاده از روش خطی‌سازی محدودیت کمتری روی میزان نیروی اعمال شده به‌وسیله رانشگرها قرار می‌دهد. این مطلب می‌تواند به عنوان پارامتری مهم در کنار فرامین جرخ‌های واکنشی برای طراحی سیستم کنترلی بهینه و مسئله راندو و لنگرگیری به کار رود. به عبارتی دیگر، در صورتی که بتوان از رانشگرهای قوی استفاده کرد روش شبیه‌طیفی گاوس می‌تواند به نسبت روش خطی‌سازی، روش بهتری باشد. اما هنگامی که محدودیت بیشتری روی رانشگرها وجود داشته باشد می‌توان با استفاده از سازه مقاوم‌تر و جریمه دادن روی تابع هزینه مسئله بهینه راندو و لنگرگیری را با روش خطی‌سازی گام به گام انجام داد.

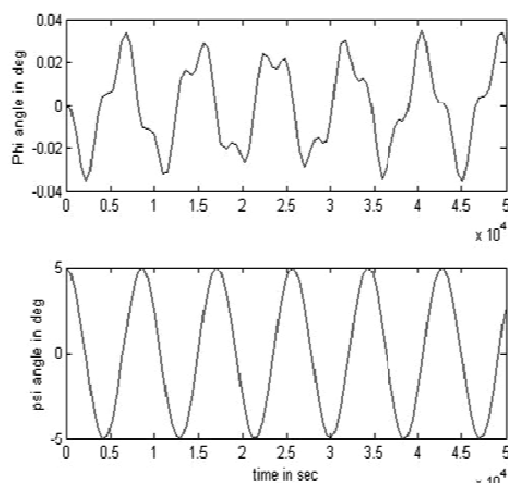
در شکل‌های (۹) تا (۱۲) حساسیت مقادیر نهایی سیستم غیرخطی راندو و لنگرگیری نسبت به عدم همترازی موتورها نشان داده شده است. این شکل‌ها به خوبی رابطه بین زیاد شدن میزان همترازی و خطای نهایی را نشان می‌دهند که واقعیت بدیهی به نظر می‌رسد. طرح می‌تواند با توجه به محدودیت‌های موجود در پروسه ساخت خطای نهایی را از روی این شکل‌ها به دست آورده و مأموریت خود را بر این اساس تعریف نماید.



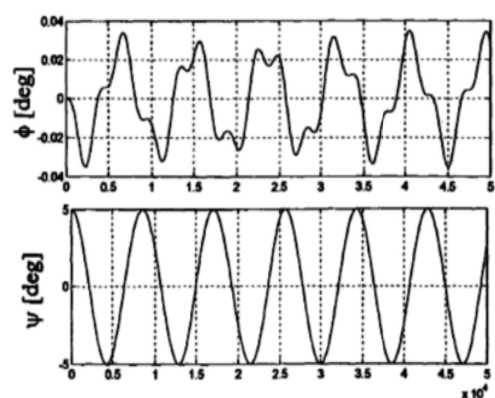
ب) نمودار خطی راندو به دست آمده توسط مقاله حاضر

شکل ۱۳- مقایسه دقت مدل استفاده در مسئله راندو توسط مرجع [۹]
(شکل (الف) و مقاله حاضر (شکل ب))

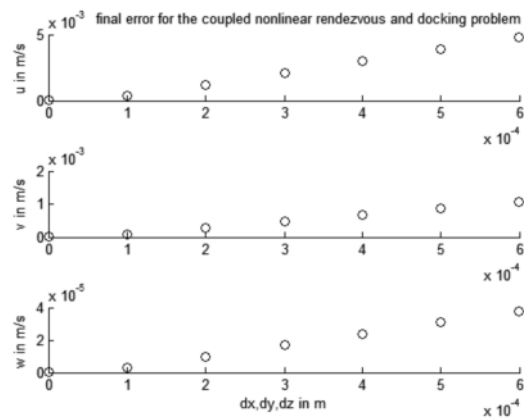
در مورد لنگرگیری نیز چنین مقایسه‌ای با مرجع [۴۲] انجام گرفته و نتیجه شبیه‌سازی‌ها در شکل (۱۴) نشان داده شده است.



الف) نمودار خطی لنگرگیری به دست آمده توسط [۴۲]



شکل ۱۴- مقایسه دقت مدل استفاده در مسئله لنگرگیری توسط مرجع [۹]
(شکل (الف) و مقاله حاضر (شکل ب))

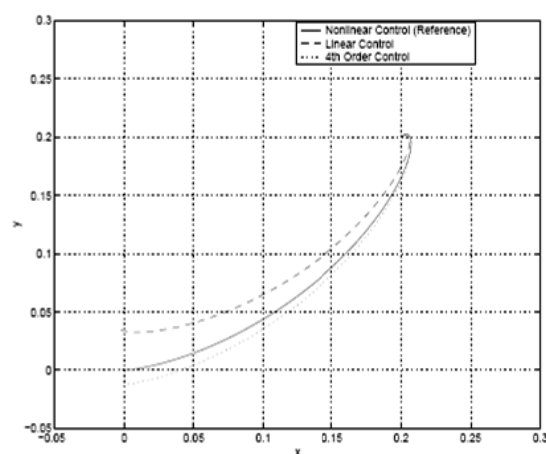


شکل ۱۲- تحلیل حساسیت خطای سرعت نسبی نهایی در مسئله در گیر نسبت به عدم تطابق

اعتبارسنجی بر روی مدل سیستم راندو و لنگرگیری

در این بخش دقت مدل دینامیکی مسئله راندو و لنگرگیری استفاده شده در این مقاله مورد ارزیابی قرار می‌گیرد. برای این منظور و اعتبارسنجی معادلات راندو از مرجع [۹] استفاده شده است. شکل (۱۳) نمودار به دست آمده توسط این مرجع و مقاله حاضر را نشان می‌دهد:

مقایسه این دو نمودار نشان می‌دهد که سیستم راندو خطی شده در این مقاله مشابه سیستم غیرخطی مورد استفاده در مرجع [۹] بوده و بنابراین می‌توان با تقریب خوبی سیستم غیرخطی راندو را حول نقطه کاری خطی‌سازی کرده و از آن برای طراحی کنترلر استفاده کرد.



الف) نمودار خطی راندو به دست آمده توسط [۹]

- [2] Bevilacqua, R., Romano, M. and Yakimenko, O., "Online Generation of Quasi-Optimal Spacecraft Rendezvous Trajectories", *Science Direct, Acta Astronautica*, Vol. 64, No. 2-3, 2008, pages 345-358.
- [3] Carter, T. E., "Optimal Power-Limited Rendezvous of a Spacecraft with Bounded Thrust and General Linear Equations of Motion", *Springer, Journal of Optimization Theory and Applications*, Vol. 87, No. 3/December, 1995, pages 487-515.
- [4] Frieland, B. and Cohen, V., "Quasi-Optimum Control for Minimum-Time Rendezvous", *IEEE Transactions on Automatic Control*, Vol.11, Issue3, 1966, ISSN: 0018-9286, pages 525-528.
- [5] Bevilacqua, R. and Romano, M., "Fuel Optimal Spacecraft Rendezvous With Hybrid on-off Continuous and Impulsive Thrust", *AIAA Journal of Guidance, Control and Dynamics*, Vol. 30, No. 4, 2007, pages 1175-1178.
- [6] Miele, A., Weeks, M.W. and Ciarcia, M. "Optimal Trajectories for Spacecraft Rendezvous", *Springer, Journal of Optimization Theory and Applications*, Vol. 132, No. 3, 2007, pages 353-376(24).
- [7] Alfriend, K. T. and Kashiwang, Y. "Minimum Time Orbital Rendezvous Between Neighboring Elliptic Orbits", *Springer, Journal of Optimization Theory and Applications*, Vol. 4, No. 4, 1969, pages 260-276.
- [8] Taur, D. R., Coverstone-Carroll and Prussing, E., "Optimal Impulsive Time Fixed Orbital Rendezvous and Interception With Path Constraints" *Journal of Guidance, Control and Dynamics*, Vol. 18, No. 1, 1995, page 54.
- [9] Park, C. Guibout, V. and J. Scheeres, D. "Solving Optimal Continuous Thrust Rendezvous Problems with Generating Functions" *Journal of guidance, control and dynamics*, Vol. 29, No. 2, 2006, pages 321-331.
- [10] Luo, Y. Z., Tang, G. J. and Li, H.Y., "Optimization of Multiple-Impulse Minimum Time Rendezvous Using Hybrid Genetic Algorithm", *Science Direct, Acta Astronautica*, Vol. 10, No. 6, 2006, pages 534-540
- [11] kim, Y. H. and Spencer, D. B., "Optimal Spacecraft Rendezvous Using Genetic Algorithm," *Journal of Guidance, Control and Dynamics*, Vol. 39, No. 6, 2002, pages 859-865.
- [12] Luo, Y. Z., Tang, G. J., "Spacecraft Optimal Rendezvous Controller Using Simulated Annealing", *Aerospace Science and Technology*, Vol. 9, Issue 8, 2005, pages 732-737.
- [13] Lous, Y. Z., Lei, Y. J. and Tang, G. J., "Optimal Multi-Objective Impulsive Linear Rendezvous," *Journal of Guidance, Control and Dynamics*, Vol. 30, No. 2, 2007, page 383.
- [14] Lous, Y. Z., Lei, Y. J. and Tang., G. J., "Optimal Multi-Objective Impulsive Nonlinear Rendezvous," *Journal of Guidance, Control and Dynamics*, Vol. 30, No. 4, 2007, page 994.
- [15] Tang, G. J. Luo, Y. Z. and Li, H. Y. "Optimal Robust Linearized Impulsive Rendezvous", *Science Direct, Acta Astronautica*, Vol. 11, No. 7-8, 2007, pages 563-569.

مقایسه این دو نمودار نیز که شبیه‌سازی معادلات خطی لنگرگیری هستند به خوبی دقت تقریب معادلات غیرخطی با خطی را نشان می‌دهد؛ به طوری که تقریباً تفاوتی بین دو نمودار دیده نمی‌شود.

نتیجه گیری

نتایج این بررسی نشان می‌دهد که کنترلرهای بهینه طراحی شده با توجه به ماهیت حلقه بسته بودنشان می‌توانند به طور مؤثر عملیات راندو و لنگرگیری را حتی در زمان عدم قطعیت از شرایط محیطی سیستمی اجرا کنند. مزایا و معایب دو روش بررسی شده در جدول (۸) نسبت به هم ارائه شده است.

جدول ۸-۸- مزایا و معایب دو روش بررسی شده نسبت به هم و روش‌های حلقه باز

روش شبه طیفی گاوس	روش خطی‌سازی گام به گام	روش قابلیت
زیاد	زیاد	مقاومت
کم	زیاد	تابع هزینه
هموار	ناهموار	مسیر
زیاد	کم	محدوده بالا و پایین فرامین رانش‌گرها
کم	زیاد	محدوده بالا و پایین فرامین چرخهای واکنشی

در این تحقیق مسئله غیرخطی درگیر و همزنان راندو و لنگرگیری در این مقاله برای اولین بار بررسی شده است و حل بهینه آن نسبت به تابع هزینه ساخت-مسیر ارائه شده است. با توجه به حل حلقه بسته به دست‌آمده حاصل از روش‌های به کار رفته، می‌توان برای طیف وسیعی از شرایط اولیه و محیط‌های اختلالی از آنها استفاده کرد. نمودارهای حساسیت نشان می‌دهند که با زیاد شدن میزان عدم تطابق از یک حد، دیگر نمی‌توان به شرایط راندو و لنگرگیری ایده‌آل رسید. بحث وجود قید روی حالت‌های سیستم و یا کنترل به دلیل ایجاد پیچیدگی مدل مسئله مورد بررسی قرار نگرفت و به عنوان کارهای آتی در نظر است. استفاده از روش خطی‌سازی تنها زمانی توصیه می‌شود که بتوان از چرخهای واکنشی دارای محدوده عملکرد بیشتری استفاده کرد.

مراجع

- [1] Mengali, G. and Quarta, A. A., "Fuel Optimal Power Limited Rendezvous With Variable Thruster Efficiency," *Journal of Guidance, Control and Dynamics*, Vol. 28, No. 6, 2005, pages, 1194-1199.

- and Electronic Systems*, Vol.20, No.2 March 1984, 94-103.
- [29] Chen, Y. P., and Lo, S. C, "Sliding Mode Controller Design for Spacecraft Attitude Tracking Maneuvers", *IEEE Transactions on Aerospace and Electronic Systems*, Vol.29, No.4, Oct. 1993, 1328-1333.
- [30] Singh, S. N, "Nonlinear Adaptive attitude control of spacecraft", *IEEE Transactions on Aerospace and Electronic Systems*, Vol.23, No.3, 1987, 371-379
- [31] Slotine, J. J. E., and Di Benedetto, M. D. Hamiltoman, "Adaptive Control of Spacecraft", *IEEE Transactions on Automatic Control*, Vol.35, No.7, 1990, 848-852.
- [32] Cristi, R., Burl, J., and Russo, N, "Adaptive Quaternion Feedback Regulation of Eigen axis Rotations", *Journal of Guidance, Control and Dynamics*, Vol.17, No.6 Nov.-Dec.1994,
- [33] Antony Satyadas and K. Krishnakumar, "GA-optimized Fuzzy Controller for Spacecraft Attitude Control", *IEEE Transactions on Automatic Control*, SN: 0-7803-1896-X/94.
- [34] Kwan, C. M., H. Xu, Lewis, F. L., Haynes, L. and Pryor, J. D., "Robust Spacecraft Attitude Control Using Fuzzy CMAC", *Proceedings of the 1996 IEEE International Symposium on Intelligent Control Dearborn, MI September 15-18,1996*.
- [35] Liang, J., "Time-Optimal Magnetic Attitude Control for Small Spacecraft", *43rd IEEE Conference on Decision and Control*, December 14-17, 2004, Atlantis, Paradise Island, Bahamas.
- [36] Kim, J. and L. Crassidis, J., "Spacecraft Attitude Control Using Approximate Receding-Horizon Model-Error Control Synthesis", *Journal of guidance, Control and dynamics*, Vol. 29, No. 5, September-October 2006, pages 1023-1031.
- [37] Luo, W., Chu, YC. and Ling, KV., "HInverse Optimal Attitude-Tracking Control of Rigid Spacecraft", *Journal of Guidance, Navigation and Dynamics*, Vol. 28. No. 3, May-June 2005, page 481-494.
- [38] Li, Z. and Wang, B. "Robust Attitude Tracking Control of Spacecraft in the Presence of Disturbances", *Journal of Guidance Control and Dynamics*, 2007, page 1156.
- [39] Singla, P., Subbarao, K., Hughes, D. and L. Junkins, J., "Structured Model Reference Adaptive Control for Vision Based Spacecraft Rendezvous and Docking", *Advances in the Astronautical Sciences*, AAS/AIAA Spaceflight Mechanics Meeting, Puncet, Puerto Rico, Vol. 114, 2003, pages 55-75.
- [40] Philipa, N. K. and Ananthasayanam, M. R., "Relative Position and Attitude Estimation and Control Schemes for the Final Phase of an Autonomous Docking Mission of Spacecraft", *Acta Astronautica*, Vol. 52, No.7, 2003, pages 511 – 522.
- [41] J. Irvin, D. and Captain, Jr., "A Study of Linear Vs. Nonlinear Control Techniques for the Reconfiguration of Satellite Formations", *Wright-Patterson Air Force Base, Ohio*, Advances in the Astronautical Sciences, 2002.
- [16] Moradi, R., Nobahari, H. and Pourtakdoust, S. H., "Optimal Control of Spacecraft Rendezvous Using Multi Objective and Colony Optimization", *AIAA southern California Aerospace systems and technology conference*, 2009.
- [17] Park, J. U., Choi, K. H. and Lee, S., "Orbital Rendezvous Using Two-Step Sliding Mode Control", *Aerospace Science and Technology*, Vol. 3, No. 4, 1999, pages 239-245.
- [18] Matsumoto, Sh., Jacobsen, S., Dubowsky, S. and Y. Ohkami, "Approach Planning and Guidance for Uncontrolled Rotating Satellite Capture Considering Collision Avoidance", *Proceeding of the 7th International Symposium on Artificial Intelligence, Robotics and Automation in Space*, I-SAIRAS 2003, NARA, Japan, May 19-23, 2003.
- [19] Jacobsen, S., Lee, Ch., Zhu, C., and Dubowsky, S., "Planning of Safe Kinematic Trajectories for The Free Flying Robots Approaching an Uncontrolled Spinning Satellite", *Proceedings of DETC.02ASME 2002 Design Engineering Technical Conferences and Computers and Information in Engineering Conference Montreal, Canada*, 2002.
- [20] Louis S. Breger, Jonathan P How., "Safe Trajectories for Autonomous Rendezvous of Spacecraft" *Journal of guidance, control and dynamics*, Vol. 31, No. 5, 2008, pages 1478-1489.
- [21] Zeng Y. and Singh, S. N., "Dynamic Feedback Linearizing Attitude Control of Spacecraft with Uncertain Dynamics", *AIAA Guidance, Navigation and Control, Conference and Exhibit*, 1998- 4229.
- [22] Wei, B., and Barba, P. M. "Quaternion Feedback for Spacecraft Large Angle Maneuvers" *Journal of guidance, Control, and Dynamics*, Vol.8, 1985, 360-365.
- [23] Wei, B., Weiss, H., and Arapostathis "Quaternion Feedback Regulator for Spacecraft Eigenaxis Rotation" *Journal of Guidance, Control, and Dynamics*, Vol.128, 1989, 375-380.
- [24] Tsotras, P. "New Control Laws for the Attitude Stabilization of Rigid Bodies" *Proceedings, IFAC Symposium on Automatic Control in Aerospace*, Palo Alto, CA, Sept.1994, 316-321.
- [25] Tsotras, P, "A Passivity Approach to Attitude Stabilization Using Non redundant Kinematic Parameterizations", *Proceedings of the 34th Conference on Decision and Control*, New Orleans, LA, Dec.1995, 515-520.
- [26] Wei, B., and Lu, J, "Feedback Control Logic for Spacecraft Eigenaxis Rotations Under Slow Rate and Control Constraints", *Journal of Guidance, Control and Dynamics*, Vol.18, No.6, Nov.-Dec.1995, 1372-1379.
- [27] Dwyer, T. A. W, "Exact Nonlinear Control of Large Angle Rotational Maneuvers", *IEEE Transactions on Automatic Control*, Vol. AC-29, Sept.1984, 769-774.
- [28] Singh, S. N., and De Araujo, A. D, "Asymptotic Reproducibility in Nonlinear Systems and Attitude Control of Gyrostat", *IEEE Transactions on Aerospace*

- [45] Benson, D. A., Huntington, G. T., Thorvaldsen, T. P. and Rao, A. V., "Direct Trajectory Optimization and Costate Estimation via an Orthogonal Collocation Method", *Journal of Guidance, Control, and Dynamics*, Vol. 29, No. 6, November-December, 2006, Page 1435–1440.
- [46] Davis, P., *Interpolation and Approximation*, Dover Publications, 1975.
- [47] Kirk, D. E., *Optimal Control Theory*, Dover Publications, 1970.
- [42] Sidi, M. J., *Spacecraft Dynamics and Control*, Cambridge Aerospace Series 2000.
- [43] Pourtakdoust, S.H. and Moradi, R., Optimal Control of Coupled Spacecraft Rendezvous and Docking, Master Thesis, Sharif University of Technology, Aerospace Engineering Department, 2010.
- [44] Benson, D. A., A Gauss Pseudo spectral Transcription for Optimal Control, *Ph.D. Dissertation*, Department of Aeronautics and Astronautics, MIT, November 2004.